

# Aula 8: Campo Magnético

F 328: Física Geral III

2º semestre 2017

F328 – 2S2017



# Diferenças campos magnéticos e elétricos

## Campo elétrico $\vec{E} \rightarrow$ Eletrostático

- **Devido a cargas elétricas\***
- Carga isolada
- Linhas de campo da carga + para a carga -

## Campo magnético $\vec{B} \rightarrow$ Magnetostático

- **Devido a correntes elétricas\***
- Pares de polos (norte e sul)
- Linhas de campo do norte até o sul (fechadas)

Nunca foram observados  
monopolos magnéticos!



\* Obs: Campos elétricos (magnéticos) também podem ser produzidos por campos magnéticos (elétricos) variáveis no tempo.

Quando se quebra um ímã, cada uma das partes sempre tem dois novos polos

# Desenvolvimento histórico

## Há mais de 2000 anos (Grécia):

- Existência de um certo tipo de pedra (hoje chamada de magnetita) que atraía pedaços de ferro (limalhas)

## 1269 (Pierre de Maricourt):

- Descoberta que uma agulha liberada em vários pontos sobre um ímã natural esférico orientava-se ao longo de linhas que passavam através de pontos nas extremidades diametralmente opostas da esfera
- Ele chamou esses pontos de **polos do ímã**

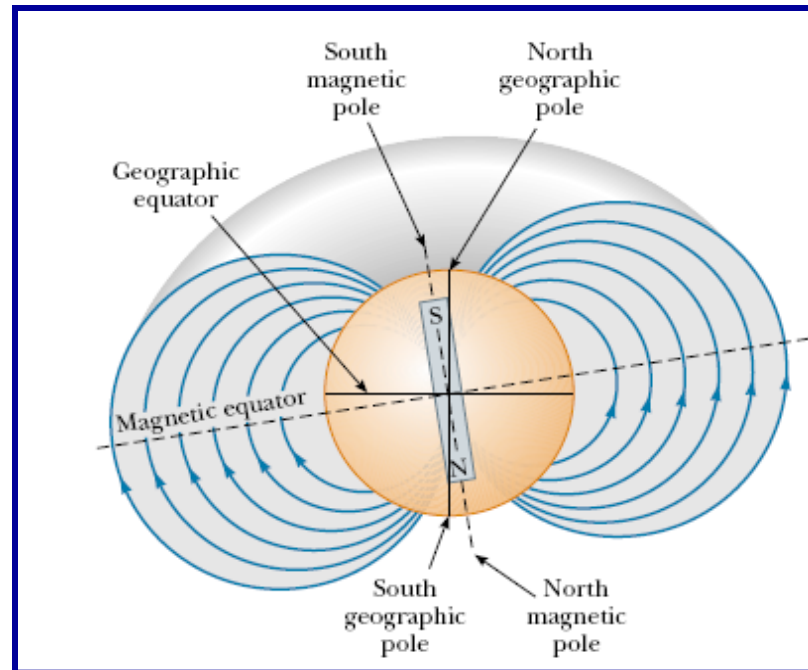
## Em seguida:

- Verificações experimentais que todos os ímãs de qualquer formato possuíam **dois polos**, chamados de polos **norte** e **sul**.
- Polos **iguais** de dois ímãs se **repelem** e polos **diferentes** se atraem **mutuamente**

# Desenvolvimento histórico

## 1600 (William Gilbert):

- Descoberta que a Terra era um ímã natural com polos magnéticos próximos aos polos norte e sul geográficos.
- Uma vez que o polo norte de uma agulha imantada de uma bússola aponta na direção do polo sul de um ímã, o que é denominado **polo norte da Terra**, é na realidade, **um polo sul magnético**.



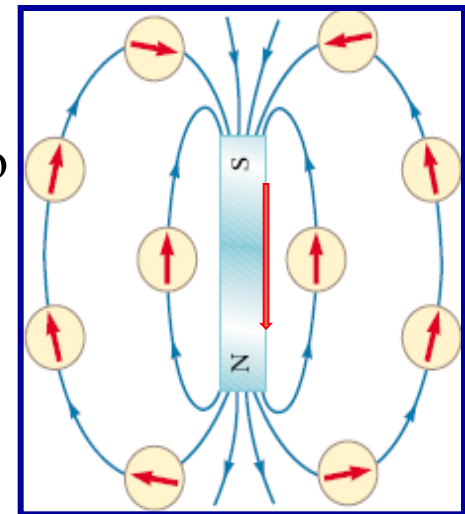
# Campo magnético

(Na verdade,  $\vec{B}$  se chama vetor indução magnética)

## Linhas de campo

- Não são reais
- Direção do campo tangente à linha
- Intensidade do campo  $\approx$  densidade de linhas
- Não podem se cruzar
- Formam **ciclos fechados** entre os polos:
  - No exterior: vão do polo norte ao polo sul
  - No material magnético: vão do sul ao norte

} Como  $\vec{E}$



## Unidades

• SI: Tesla (T)  $\rightarrow T \equiv \frac{Ns}{Cm} = \frac{N}{A.m}$

• Outra unidade usual (não SI): Gauss (G)  $\rightarrow 1 T = 10000 G$

# Força magnética

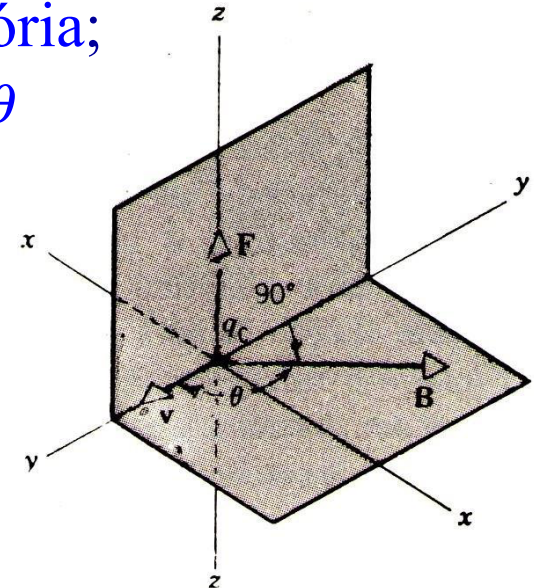
## Definição do vetor indução magnética $\vec{B}$ :

A existência de um campo magnético em uma dada região pode ser demonstrada com uma agulha de bússola

Quando uma **partícula carregada com carga  $q$  e velocidade  $\vec{v}$**  entra em uma região onde existe um campo magnético ;  $\vec{B}$

1 - **na direção indicada pela agulha da bússola (*direção do Campo*)** ela não sofre desvio em sua trajetória;

2 – quando a sua trajetória faz um angulo  $\theta$  qualquer com a orientação da agulha da bussola ela é **desviada transversalmente** sob ação de uma **força magnética** que é proporcional à **carga da partícula, à sua velocidade**.



## Definição do vetor indução magnética $\vec{B}$ :

Experimentalmente o *desvio transversal* da trajetória sob ação de uma *força magnética* é proporcional à *carga  $q$  da partícula*, à *sua velocidade  $\vec{v}$* , à *intensidade do campo magnético  $\vec{B}$*  e ao *seno do ângulo entre a direção da velocidade da partícula e a direção do campo* é dado por

$$\rightarrow F_B = qvB\sin\theta$$

*Surpreendente ainda é o fato de que esta força é perpendicular tanto à velocidade quanto ao campo magnético.*

Vetorialmente: 
$$\vec{F}_B = q\vec{v} \times \vec{B}$$

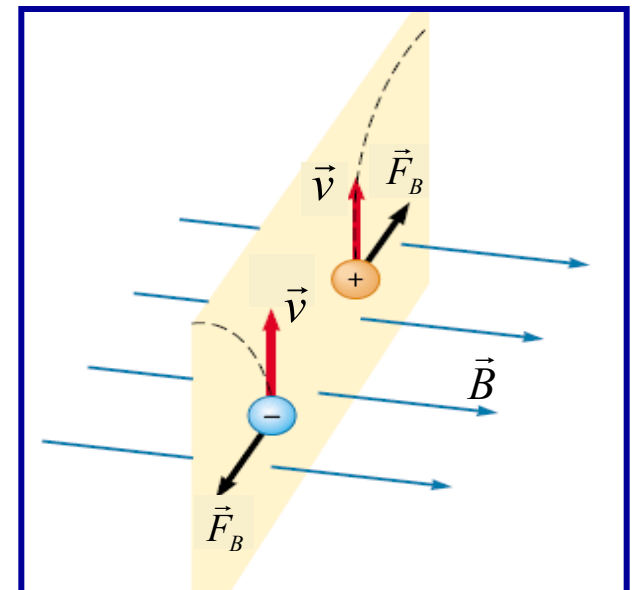
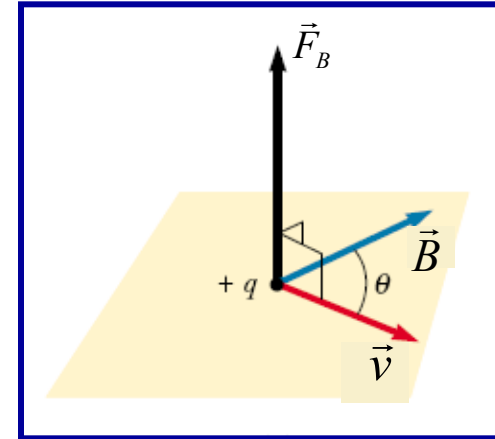
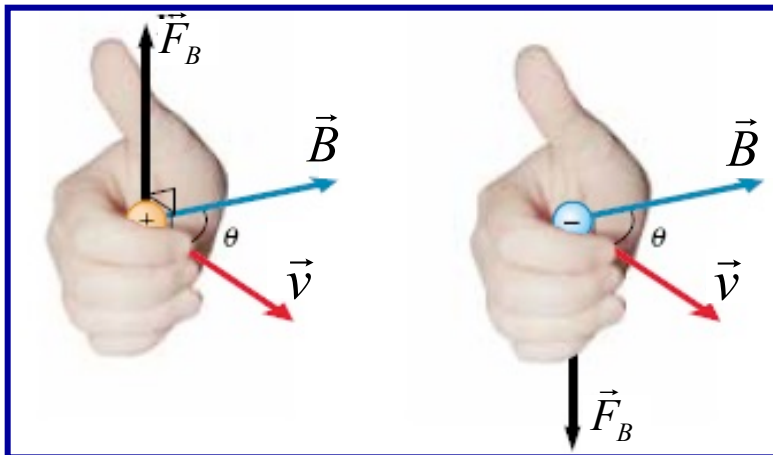
# Força magnética

Módulo de  $F_B$ :  $F_B = |q|vB\sin\theta$

Módulo do vetor indução magnética:

$$B = \frac{F_B}{|q|v\sin\theta}$$

**Regra da mão direita**





# Trabalho feito pela força magnética

Força sobre a partícula de carga  $q$ :  $\vec{F}_B = q\vec{v} \times \vec{B}$

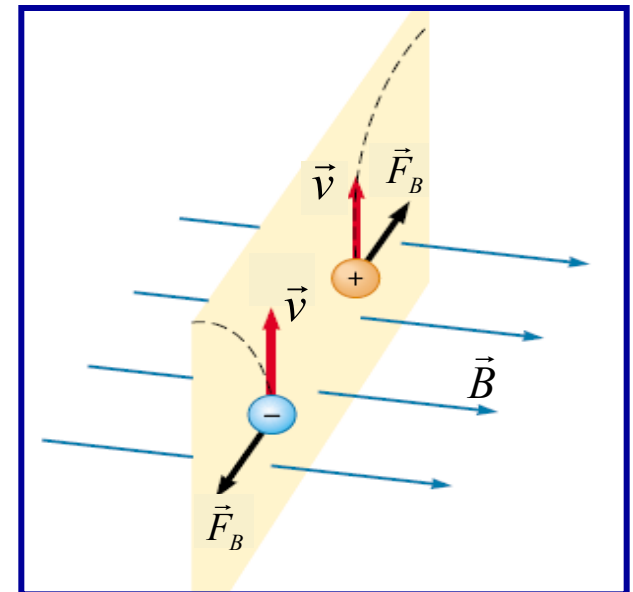
Trabalho feito por  $\vec{F}_B$  :

$$W = \int_C \vec{F}_B \cdot d\vec{l} = \int_C q \frac{d\vec{l}}{dt} \times \vec{B} \cdot d\vec{l} = \int_C -q\vec{B} \cdot \left( \frac{d\vec{l}}{dt} \times d\vec{l} \right) = 0$$

Trabalho feito por  $\vec{F}_B$  é nulo

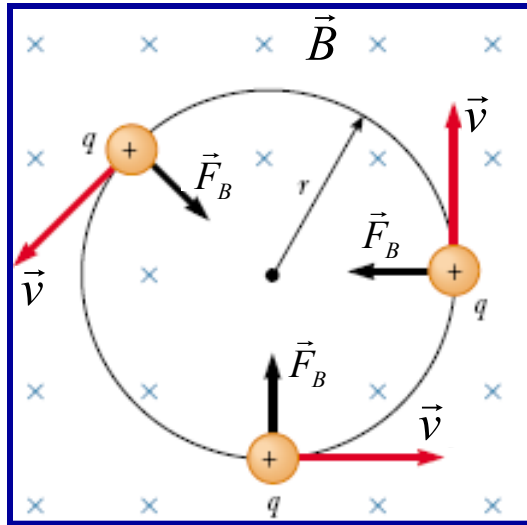
Não há variação do módulo de  $\vec{v}$

$\vec{F}_B$  altera somente a direção de propagação da partícula



# Movimento de uma partícula carregada em um campo magnético uniforme

$$(\vec{v} \perp \vec{B})$$



Movimento **circular** de raio  $r$ :

Como  $\vec{F}_B \perp \vec{v} \rightarrow |B| = \text{constante} \rightarrow \text{MCU}$

$$F_B = m a_c \rightarrow qvB = m \frac{v^2}{r} \rightarrow r = \frac{mv}{qB}$$

O **período**  $T$  do movimento circular é o tempo para se **percorrer uma volta**:

$$\rightarrow T = \frac{2\pi r}{v} = \frac{2\pi m v}{v qB} = \frac{2\pi m}{qB}$$

Frequência de cíclotron  $\omega$ :

$$f = \frac{1}{T} = \frac{qB}{2\pi m} \rightarrow \omega = 2\pi f = \frac{qB}{m}$$

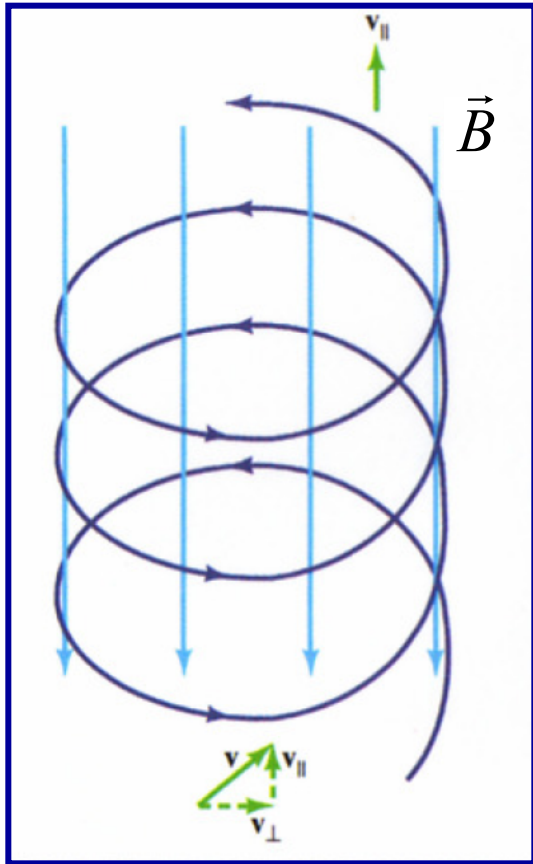


Elétrons num campo magnético

$T$  e  $f$  são **independentes** de  $v$ .

# Movimento de uma partícula carregada em um campo magnético uniforme

$$(\vec{v} \times \vec{B})$$



Velocidade:  $\vec{v} = \vec{v}_{\parallel} + \vec{v}_{\perp}$  (em relação a  $\vec{B}$ )

$\vec{v}_{\perp}$   $\rightarrow$  Movimento **circular**

$\vec{v}_{\parallel}$   $\rightarrow$  **Constante** (força magnética nula)

Resultado: Trajetória *helicoidal* da partícula

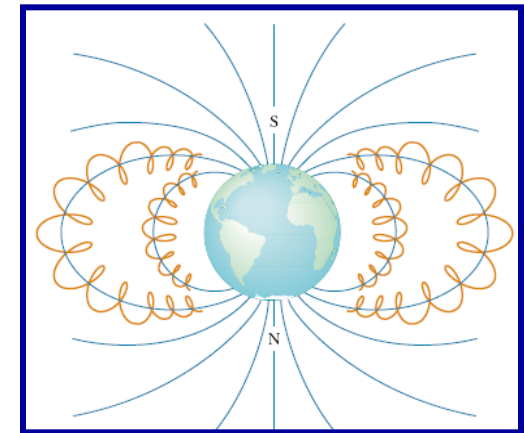
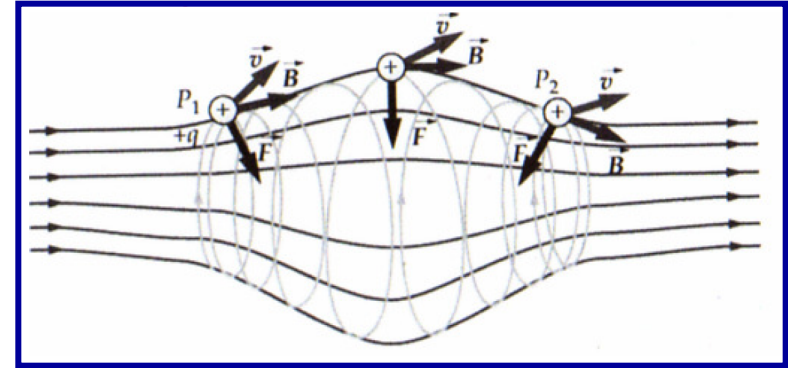
**Passo:** 
$$d = v_{\parallel} T = v_{\parallel} \frac{2\pi m}{|q|B}$$

# Movimento de uma partícula carregada em um campo magnético não uniforme

## Garrafa Magnética:

Quando uma partícula carregada se move em espiral em um **campo magnético não uniforme**, que é mais forte em ambas as extremidades e mais fraco no meio, ela fica **aprisionada** e se desloca para frente e para trás em uma trajetória espiral em torno das linhas de campo.

Desta maneira, elétrons e prótons ficam aprisionados pelo campo magnético terrestre não-uniforme, formando *os cinturões de radiação de Van Allen*.



Cinturões de radiação  
de Van Allen

Que força age sobre uma carga que está numa região onde existem um campo elétrico e um campo magnético?

➡ Força total = soma das forças elétrica e magnética

**Força de Lorentz:**  $\vec{F} = q\vec{E} + q\vec{v} \times \vec{B}$

**Aplicações**



- Filtro de velocidades
- Espectrômetro de massa
- Efeito Hall

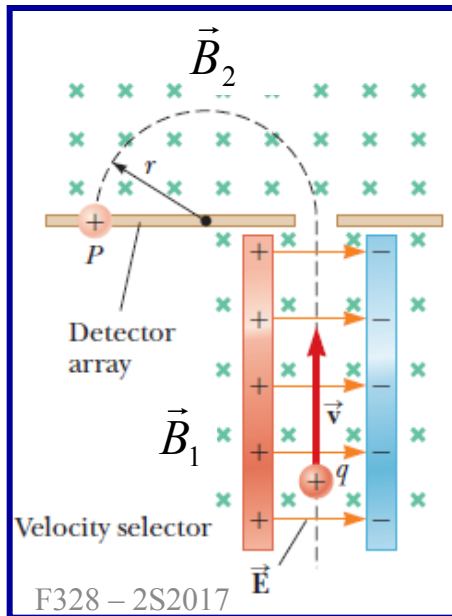
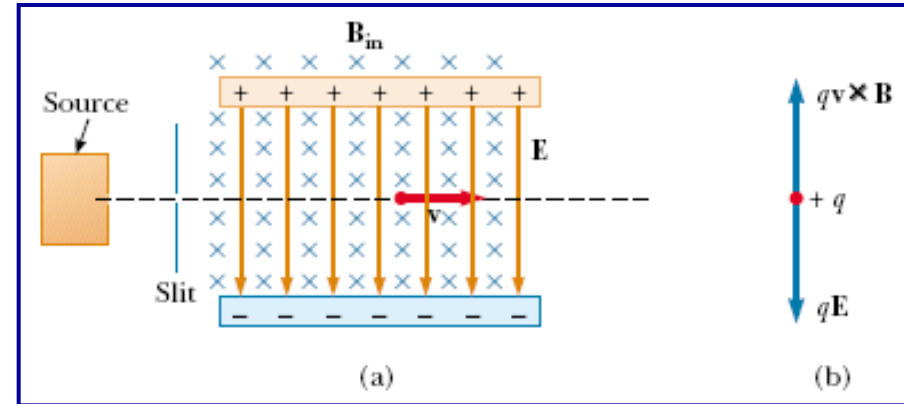
# Combinação de campos elétricos e magnéticos

## Filtro de velocidades

- Região do espaço com  $\vec{B} \perp \vec{E}$
- **Equilíbrio** entre as duas forças  
(a partícula não sofre desvio) se:

$$qE = qvB$$

Velocidade das partículas saindo  $\Rightarrow v = \frac{E}{B}$



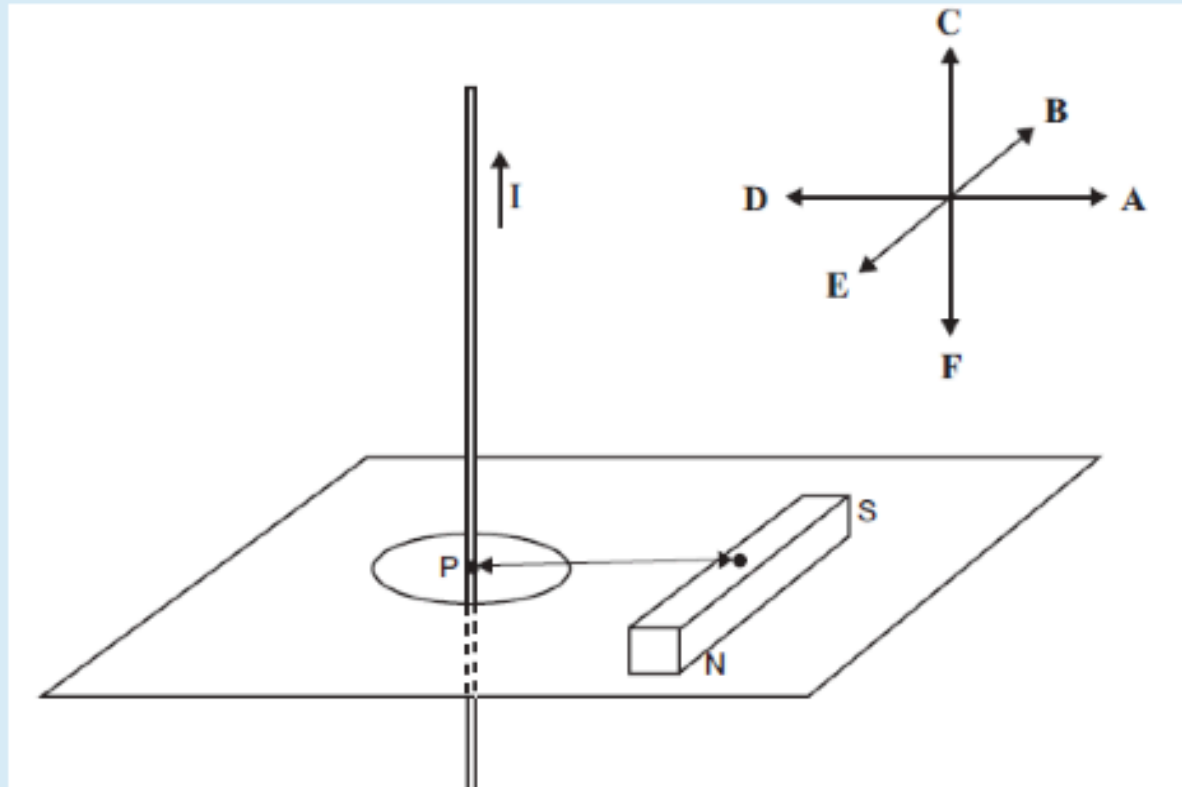
## Espectrômetro de massa

- Filtro de velocidades ( $E, B_1$ ) seguido de apenas um campo magnético  $B_2$
- **Separa** as partículas carregadas seguindo  $m/|q|$

$$\Rightarrow \frac{m}{|q|} = \frac{B_1 B_2}{E} r \quad (\text{separação de isótopos})$$

# Questão #1

Um fio vertical conduzindo uma corrente  $I$  é colocado na mediatriz de uma barra imantada, como mostrado na figura. Qual das setas (de A a F) representa melhor a orientação da força magnética sobre o fio no ponto P?



- ☐ a. B
- ☐ b. A
- ☐ c. E
- ☐ d. D
- ☐ e. C

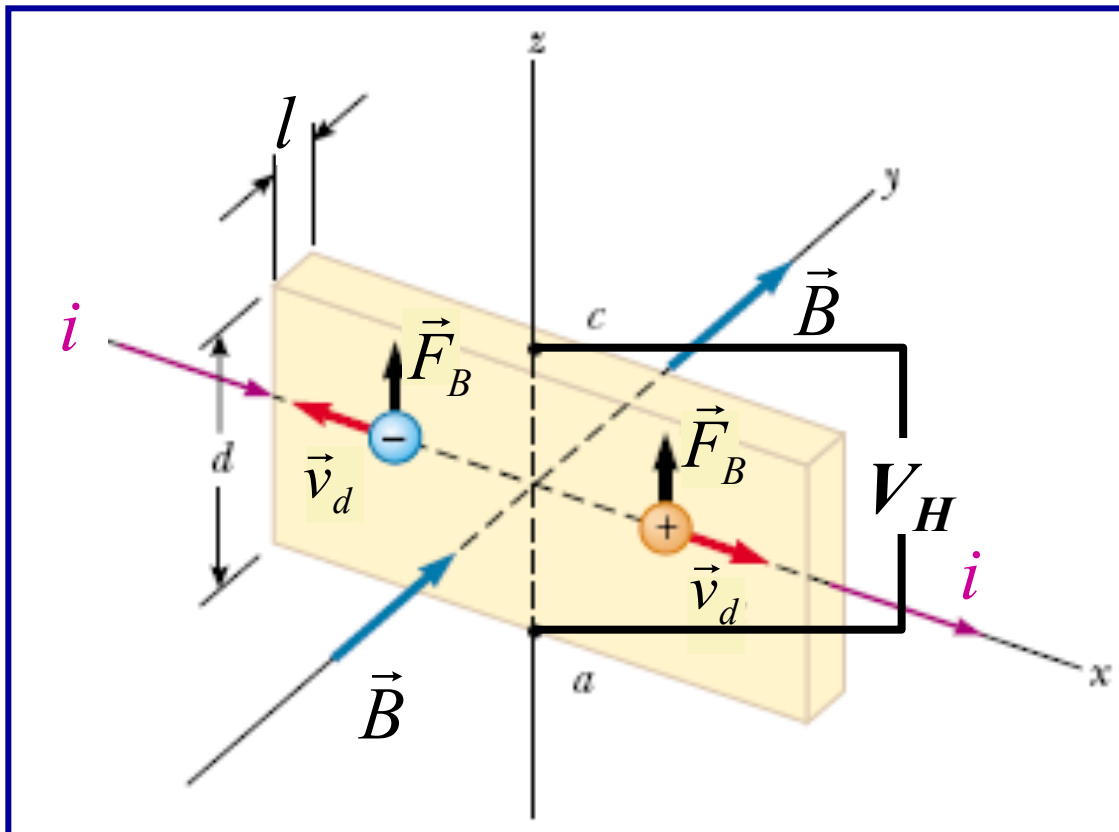
Resp.: D

# Efeito Hall

Um **condutor** achatado que é:

- Atravessado por uma **corrente  $i$**  na direção  $x$
- Sob a ação de um **campo magnético** na direção  $y$

➡ **Acumulo**  
de cargas  
acima



Medida da  
diferença de potencial  $V_H$   
criada (direção  $z$ )

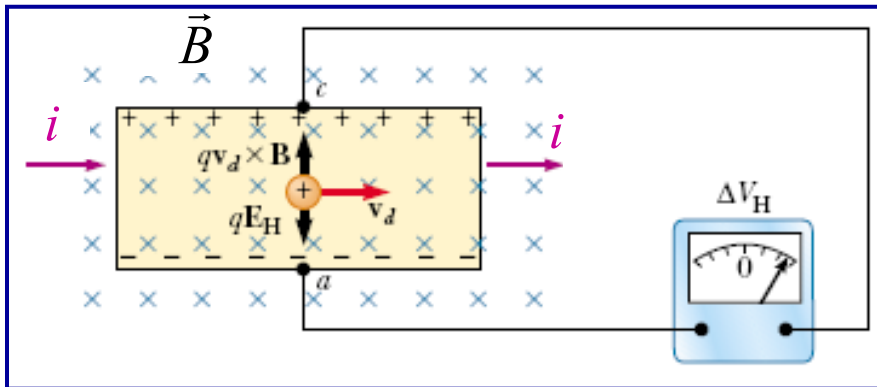
↓  
Informação sobre  $i$   
(sinal e densidade volumétrica  
dos portadores de  $i$ )



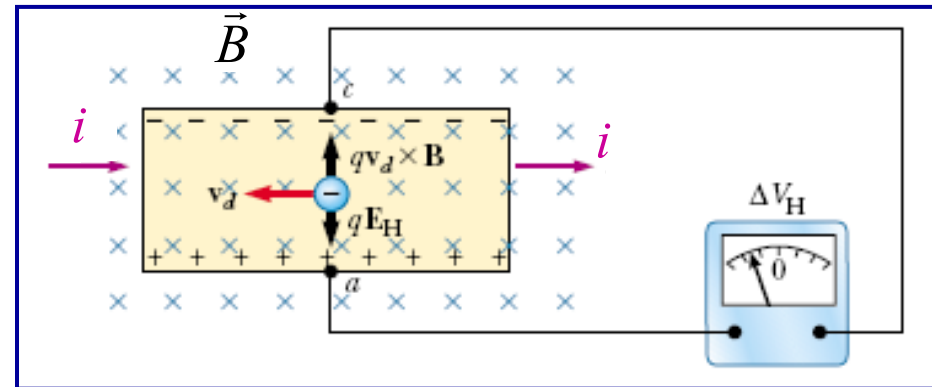
# Efeito Hall

A corrente  $i$  pode ser devida tanto a:

Portadores **positivos**:  
movendo-se para **direita**  
acumulando-se **acima**  
 $V_H$  **positiva**



Portadores **negativos**:  
movendo-se para a **esquerda**  
acumulando-se **acima**  
 $V_H$  **negativa**



Os portadores são desviados para cima ( $\vec{F}_B$ ), criando um campo elétrico. Depois de um momento, há equilíbrio das forças magnéticas e elétricas:

$$F_B = qv_d B = F_E = qE_H \quad \Rightarrow \quad v_d B = E_H$$

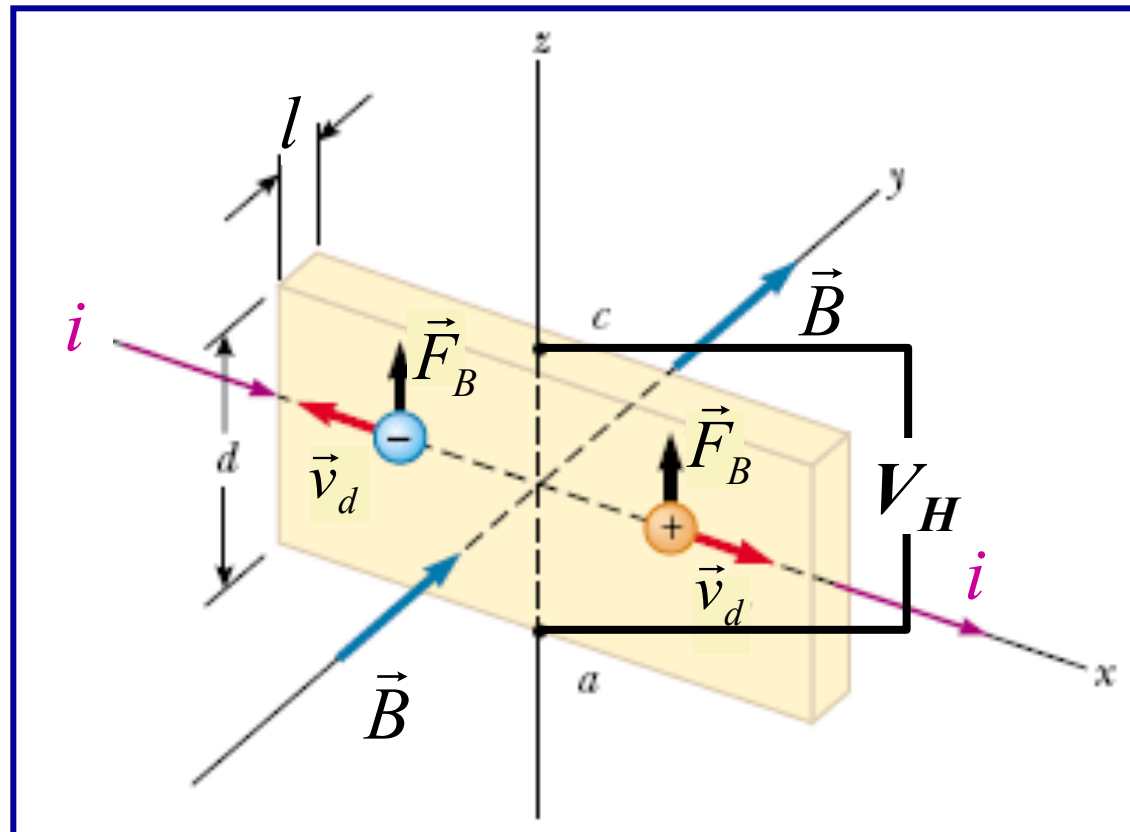
# Efeito Hall

Medindo-se a **ddp de Hall** ( $V_H$ ), pode-se determinar o **signal** e a **densidade volumétrica** dos portadores da corrente.

- Densidade de corrente:  $J = nqv_d$
- Equilíbrio das forças:  $v_d B = E_H$

Densidade volumétrica  $n$ :

$$\begin{aligned} n &= \frac{JB}{E_H q} \\ &= \frac{iB}{E_H qA} \\ &= \frac{iB}{E_H qld} \quad (A = ld) \\ \Rightarrow n &= \frac{iB}{V_H ql} \end{aligned}$$



# Exemplo 1

Por uma placa de prata com espessura de 1 mm passa uma corrente de 2,5 A em uma região na qual existe campo magnético uniforme de módulo 1,25 T perpendicular à mesma. A tensão Hall é medida como 0,334  $\mu\text{V}$ . Calcule:

- a) a densidade de portadores;
- b) compare a resposta anterior com a densidade de portadores na prata, que possui uma massa específica  $\rho = 10,5 \text{ g/cm}^3$  e massa molar  $M = 107,9 \text{ g/mol}$ .

$$\text{a) } n = \frac{iB}{qV_H l} = \frac{(2,5\text{A})(1,25\text{T})}{(1,6 \times 10^{-19} \text{C})(3,34 \times 10^{-7} \text{V})(0,001\text{m})} = 5,85 \times 10^{28} \text{ elétrons/m}^3$$

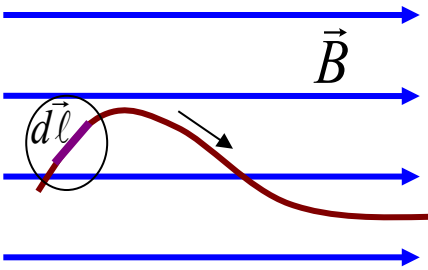
**Solução:**

$$\text{b) } n_a = \rho \frac{N_A}{M} = (10,5 \text{ g/cm}^3) \frac{6,02 \times 10^{23} \text{ átomos/mol}}{107,9 \text{ g/mol}} = 5,86 \times 10^{28} \text{ átomos/m}^3$$

$$n_a = (5,85 + 0,01) \times 10^{28} \text{ átomos/m}^3$$

Esses resultados indicam que o número de portadores de carga na prata é muito próximo de um por átomo.

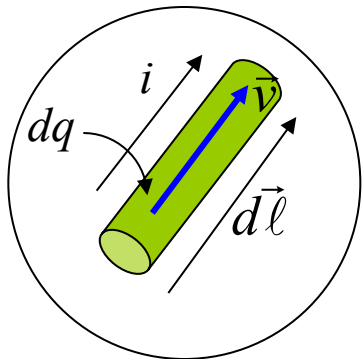
# Força magnética sobre um fio com corrente



Corrente = fluxo de cargas, então:

$$d\vec{F} = dq\vec{v} \times \vec{B} = i dt \left( \frac{d\vec{l}}{dt} \times \vec{B} \right) \Rightarrow d\vec{F} = i d\vec{l} \times \vec{B}$$

A força infinitesimal pode ser escrita como:  $dF = i dl B \sin \theta$   
 onde  $\theta$  é o ângulo entre a **direção do segmento do fio**  $\vec{l}$   
 (direção da corrente) e a **direção do campo magnético**  $\vec{B}$



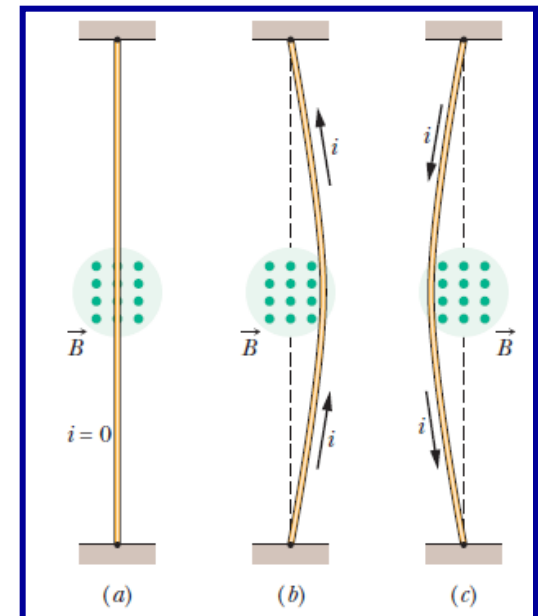
A força sobre o fio é:

$$\vec{F} = \int_{\text{fio}} d\vec{F} = \int_{\text{fio}} i d\vec{l} \times \vec{B}$$

Para fios finitos e  $\vec{B}$  **uniforme**:  $\vec{F} = i \vec{L} \times \vec{B}$

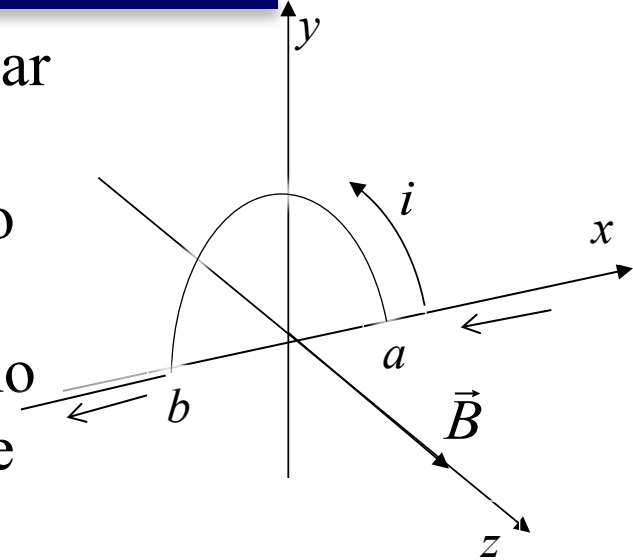
Num caminho fechado:

$$\vec{F} = \oint i d\vec{l} \times \vec{B} \quad \text{e se } \vec{B} \text{ é uniforme} \Rightarrow \vec{F} = \vec{0}$$



# Exemplo 2

Um fio curvo na forma de uma espira semicircular de raio  $R$  está em repouso no plano  $xy$ . Por ele passa uma corrente  $i$  de um ponto  $a$  até um ponto  $b$ , como mostra figura. Existe um campo magnético uniforme  $\vec{B} = B\hat{k}$ , perpendicular ao plano da espira. Encontre a força que atua sobre a parte do fio na forma de espira semicircular.

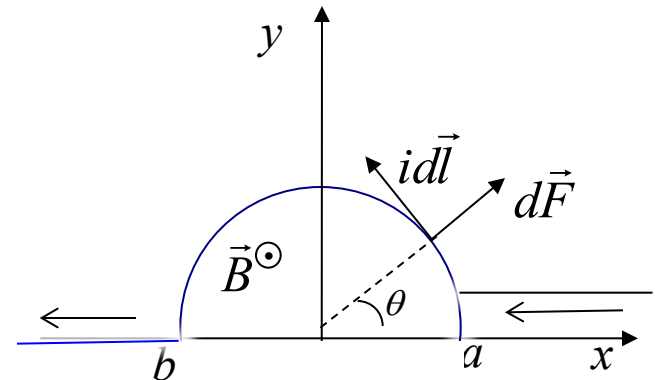


$$d\vec{F} = i d\vec{l} \times \vec{B}$$

As componentes de  $d\vec{F}$  paralelas ao eixo  $x$  cancelam-se. Então:

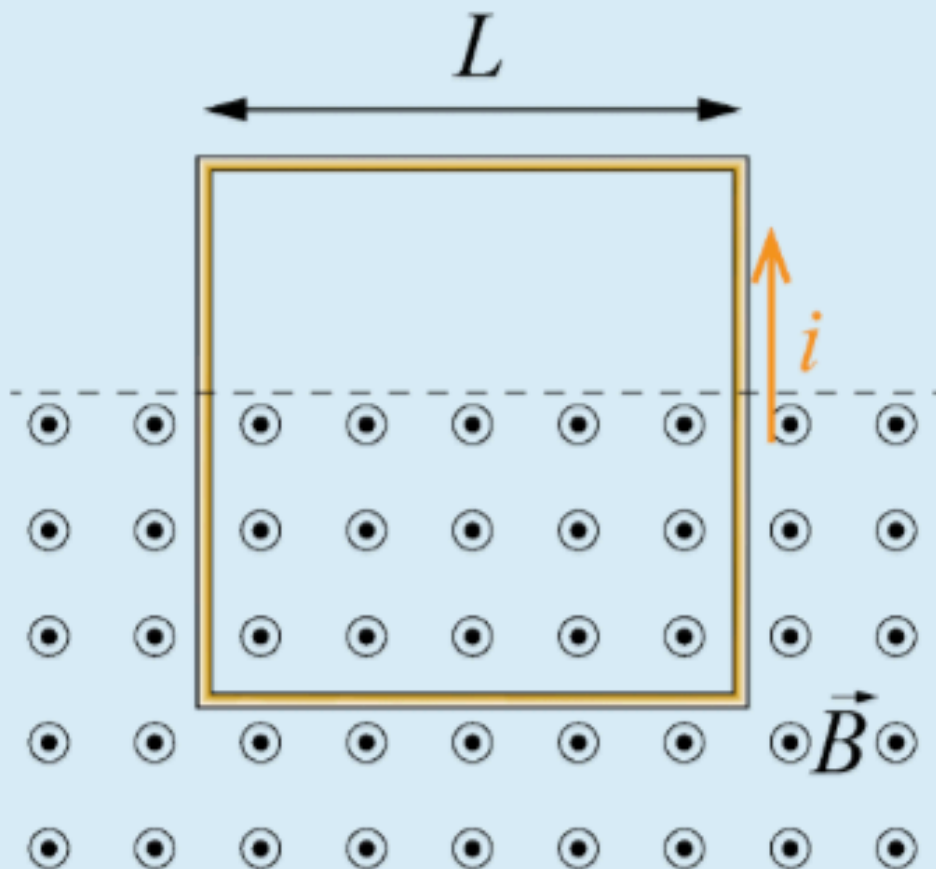
$$F = F_y = \int_0^{\pi} i dl B \sin\theta = \int_0^{\pi} i B R \sin\theta d\theta = 2iBR$$

Vetorialmente:  $\vec{F} = 2iBR \hat{y}$



## Questão #2

Uma espira quadrada de lado  $L$  transporta uma corrente  $I$  no sentido anti-horário. Metade da espira está em uma região onde há um campo magnético uniforme que aponta para “fora” da página, como mostrado. O sentido da força magnética que age sobre a espira é:



Escolha uma:

- ☐ a. nenhuma resposta está correta;
- ☐ b. para baixo;
- ☐ c. para dentro da página;
- ☐ d. para cima;
- ☐ e. para fora da página;

Resp.: ?

# Torque em espira com corrente

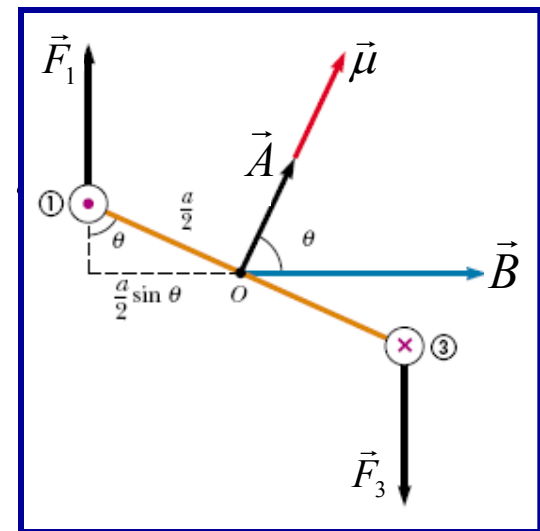
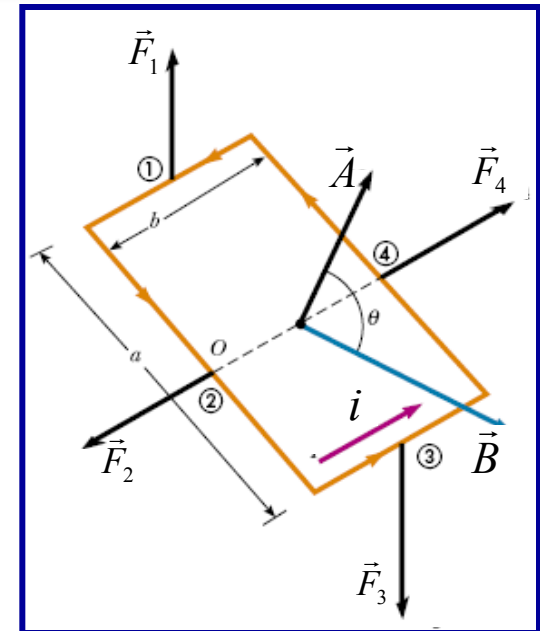
- Uma espira transportando uma corrente em um campo magnético uniforme sofre a ação de um **torque** que tende a **girá-la**.
- As forças  $\vec{F}_1$  e  $\vec{F}_3$  formam um **binário**, de tal modo que o **torque é o mesmo em torno de qualquer ponto**.

Temos:

$$\vec{F}_4 = -\vec{F}_2 \quad (\text{e têm mesma linha de ação})$$

$$\vec{F}_3 = -\vec{F}_1 \quad \text{e} \quad (F_1 = F_3 = ibB)$$

➡ A força líquida sobre a espira é nula



# Torque em espira com corrente

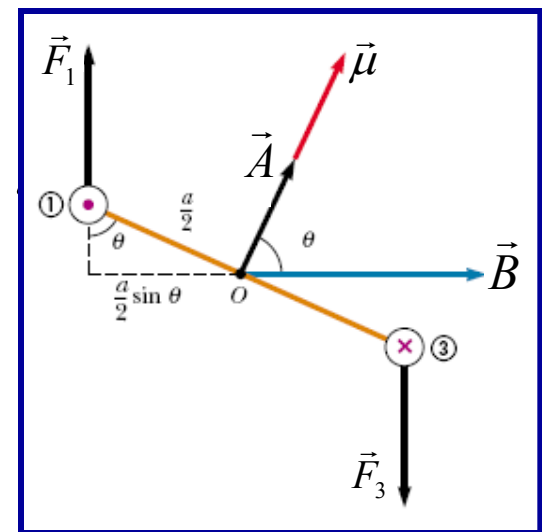
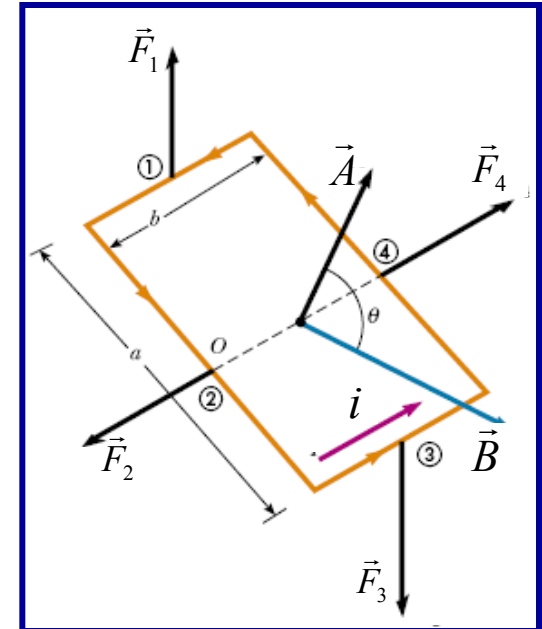
## Torque em relação ao ponto O

$$\begin{aligned}\tau &= 2F_1 \frac{a}{2} \sin \theta \\ &= iaBb \sin \theta \\ &= NiAB \sin \theta\end{aligned}\quad \left\{ \begin{array}{l} A = ab \\ N \text{ voltas} \end{array} \right.$$

## Momento de dipolo magnético da espira

$$\vec{\mu} = NiA\hat{n}$$

$$\vec{\tau} = \vec{\mu} \times \vec{B}$$





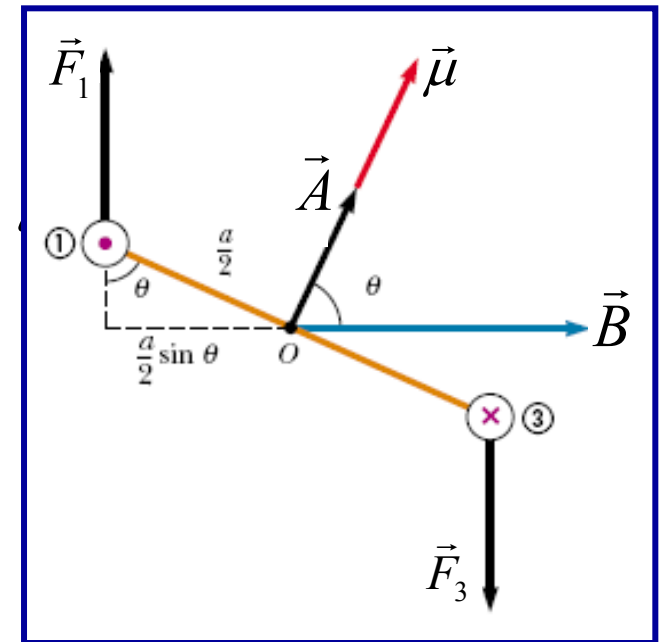
# Energia potencial de um dipolo magnético em um campo magnético

Quando um **dipolo magnético** gira de um ângulo  $d\theta$  a partir de uma dada orientação num campo magnético, um trabalho  $dW$  é realizado sobre o dipolo pelo campo magnético:

$$\begin{aligned}dW_{\text{ext}} &= \tau d\theta = \mu B \sin \theta d\theta \\dU &= dW_{\text{ext}} = \mu B \sin \theta d\theta \therefore \\U &= -\mu B (\cos \theta - \cos \theta_0)\end{aligned}$$

Tomando  $\theta_0 = \pi/2$ ,  
teremos que  $U_0 = \mu B \cos \theta_0 = 0$ , portanto:

$$U = -\mu B \cos \theta = -\vec{\mu} \cdot \vec{B}$$

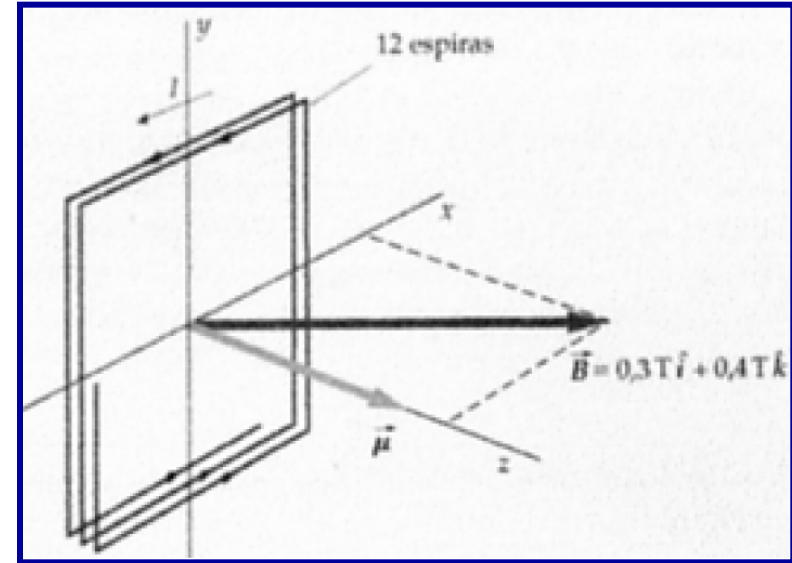


# Exemplo 3

Em um enrolamento quadrado de 12 voltas, de lado igual a 40 cm, passa uma corrente de 3 A. Ele repousa no plano  $xy$  na presença de um campo magnético uniforme  $\vec{B} = 0,3\text{T}\hat{i} + 0,4\text{T}\hat{k}$ .

Encontre:

- a) O momento dipolo magnético do enrolamento;
- b) O torque exercido sobre o enrolamento;
- c) A energia potencial do enrolamento.



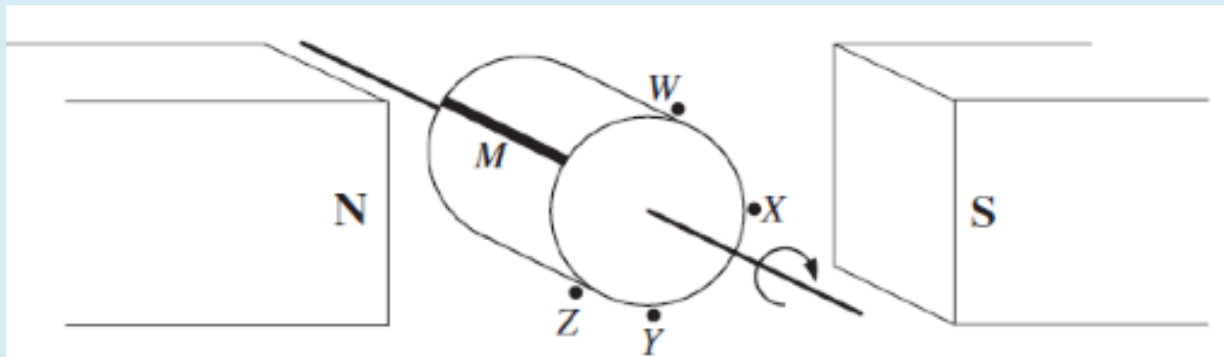
$$\text{a) } \vec{\mu} = NiA\hat{k} = (12)(3\text{A})(0,4^2\text{ m}^2)\hat{k} = 5,76\text{A}\cdot\text{m}^2\hat{k}$$

$$\text{b) } \vec{\tau} = \vec{\mu} \times \vec{B} = (5,76\text{A}\cdot\text{m}^2\hat{k}) \times (0,3\text{T}\hat{i} + 0,4\text{T}\hat{k}) = 1,73\text{N}\cdot\text{m}\hat{j}$$

$$\text{c) } U = -\vec{\mu} \cdot \vec{B} = -(5,76\text{A}\cdot\text{m}^2\hat{k}) \cdot (0,3\text{T}\hat{i} + 0,4\text{T}\hat{k}) = -2,30\text{J}$$

# Questão #3

Um cilindro de plástico, com uma tira metálica  $M$  sobre sua superfície, gira com velocidade constante em um campo magnético uniforme. Durante cada rotação, a tira  $M$  passa pelas posições  $W$ ,  $X$ ,  $Y$  e  $Z$  mostradas. A diferença de potencial através da tira é a maior quando ela passa por:



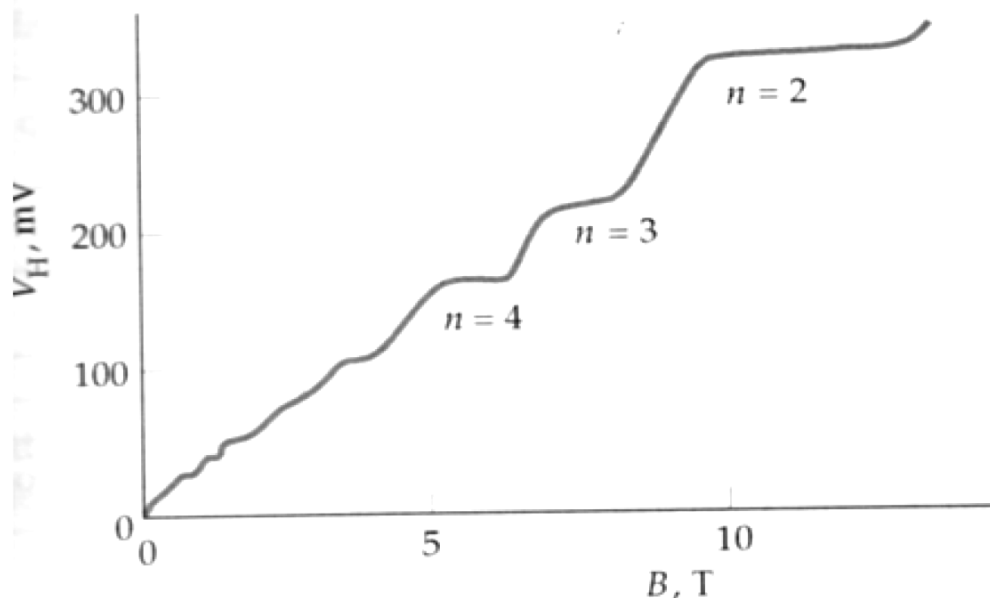
Escolha uma:

- ☐ a. Y;
- ☐ b. W;
- ☐ c. X;
- ☐ d. Z;
- ☐ e. A diferença de potencial é constante;

Resp.: X

# Curiosidade: Efeito Hall quântico

O efeito Hall quântico (Prêmio Nobel de 1985) é observado em estruturas semicondutoras especiais, geralmente com altos valores de mobilidade e a baixas temperaturas. No efeito Hall clássico a variação da tensão Hall ( $V_H$ ) com o campo magnético é linear, enquanto que no quântico esta variação resulta numa série de patamares como ilustra a figura abaixo.



Na teoria do efeito Hall quântico, a resistência  $R_H$  é definida como:

$$R_H = \frac{V_H}{i} = \frac{R_K}{n}; n=1,2,3,\dots$$

$$R_K = 25.812,807\Omega \text{ (Constante de von Klitzing)}$$

- Força magnética:

$$\vec{F}_B = q\vec{v} \times \vec{B} \quad \rightarrow \quad \text{Sobre uma carga}$$

$$\vec{F}_B = i\vec{L} \times \vec{B} \quad \rightarrow \quad \text{Sobre um fio com corrente}$$

$$\vec{F} = q(\vec{E} + \vec{v} \times \vec{B}) \quad \rightarrow \quad \text{Força de Lorentz}$$

- Movimento das partículas carregadas num campo magnético uniforme

$$(\vec{v} \perp \vec{B}) \quad \rightarrow \quad \text{Circular}$$

$$(\vec{v} \nparallel \vec{B}) \quad \rightarrow \quad \text{Helicoidal}$$

- Espira com corrente:

$$\text{Torque} \quad \rightarrow \quad \vec{\tau} = \vec{\mu} \times \vec{B}$$

$$\text{Momento de dipolo} \quad \rightarrow \quad \vec{\mu} = NiA\hat{n}$$

# Lista de exercícios do capítulo 28

## •Informações complementares

Os exercícios pares do Livro texto capítulo **Campo Magnético:**  
Consultar:  
<https://www.ggte.unicamp.br/ea>

**Aulas gravadas:**

**Youtube JA Roversi (Prof. Roversi)**

**ou**

**UnivespTV e Youtube (Prof. Luiz Marco Brescansin)**